

GCIV2036-2 : CONVERGENCE-CONFINEMENT

PRÉSENTATION DES RÉSULTATS

ARTHUR FANARA
BÉRENGÈRE FRANCK

ULIÈGE

PROFESSEUR : F. COLLIN

ASSISTANT : G. CORMAN

7 MARS 2019



- 1 Introduction
 - Présentation de la méthode
 - Présentation du problème
- 2 Étude élastique
 - Déplacement du massif
 - Distribution des contraintes
 - Chemins de contraintes p-q et $\sigma_r - \sigma_\theta$
 - Courbes caractéristiques
 - Variation des paramètres
- 3 Étude élastoplastique
 - Critère de Mohr-Coulomb et comportement élastoplastique
 - Déplacement du massif
 - Distribution des contraintes
 - Chemins de contraintes p-q et $\sigma_r - \sigma_\theta$
 - Courbes caractéristiques
 - Variation des paramètres
- 4 Dimensionnement
- 5 Conclusion

INTRODUCTION

INTRODUCTION

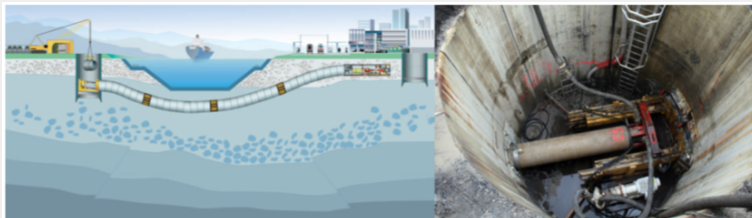


FIGURE – Fonçage et puis d'accès

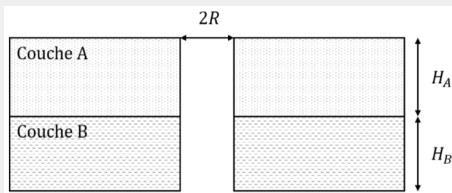


FIGURE – Coupe verticale simplifiée du massif au niveau du puits

PRÉSENTATION DE LA MÉTHODE

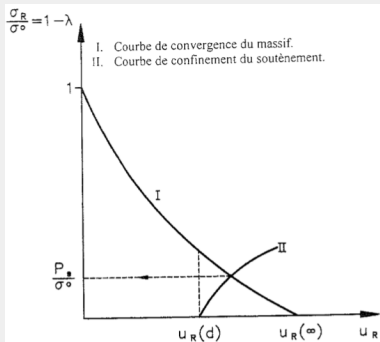
- Le déconfinement du massif s'accompagne d'un déplacement des points situés à l'intrados :

$$f_m(\sigma, u) = 0$$

- Le comportement mécanique du soutènement est décrit par la relation

$$f_s(\sigma, u) = 0$$

- La méthode de convergence-confinement décrit la relation entre le massif et le soutènement et l'équilibre est donné par l'intersection des courbe de convergence et de confinement, c'est-à-dire par la solution du système constitué des deux équations précédentes.



PRÉSENTATION DE LA MÉTHODE

- Le moment auquel le soutènement est installé est important
- La méthode permet d'étudier le problème en 1D (simplification par rapport à une étude 3D)

Hypothèses de la méthode

- Matériau homogène et isotrope
- Champ de contraintes uniforme
- Conditions de symétrie de révolution
- Déformations planes dans le plan perpendiculaire à l'axe du puits
- Pas de variation de contraintes initiales

PRÉSENTATION DU PROBLÈME

But : tracer

- le déplacement du massif u_R
- la distribution des contraintes σ_r et σ_θ
- les chemins de contraintes p-q et $\sigma_r - \sigma_\theta$
- les courbes caractéristiques du massif et du soutènement

Données

Données	Valeur	Unité
E_b	30	GPa
ν_b	0,2	-

Données	Valeur	Unité
$\gamma_{sat,sol}$	18	kN/m^3
H_S	7	m
H_A	20	m
H_B	30	m
E_A	150	MPa
E_B	800	MPa
ν_A	0,21	-
ν_B	0,26	-
c_A	10	kPa
c_B	100	kPa
ϕ_A	22	°
ϕ_B	27	°
ψ_A	3	°
ψ_B	4	°
$\gamma_{sat,A}$	23,5	kN/m^3
$\gamma_{sat,B}$	24	kN/m^3
K_{OA}	0,8	-
K_{OB}	1,05	-

CALCUL DES CONTRAINTES INITIALES

Calcul de σ_o pour chaque couche :

- $\sigma_{oA} = (\gamma_{sol} \cdot h_{sol} + \gamma_A \cdot h_A) \cdot K_{oA} = 476,8 \text{ kPa}$
- $\sigma_{oB} = (\gamma_{sol} \cdot h_{sol} + \gamma_A \cdot h_A + \gamma_B \cdot h_B) \cdot K_{oB} = 1381,8 \text{ kPa}$

ÉTUDE ÉLASTIQUE

DÉPLACEMENT DU MASSIF

Déplacement radial : $u_r(r) = \lambda \frac{R^2}{r} \frac{\sigma_0}{2G}$ où $r \in [R; 3R]$ et $\lambda \in [0; 1]$

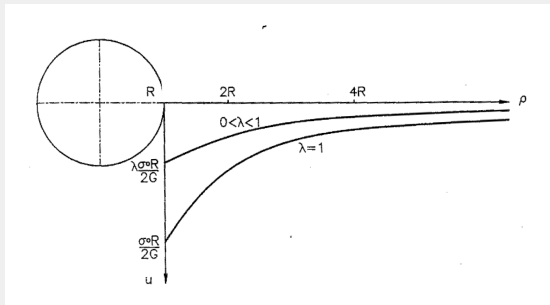
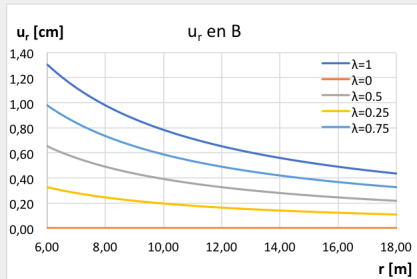
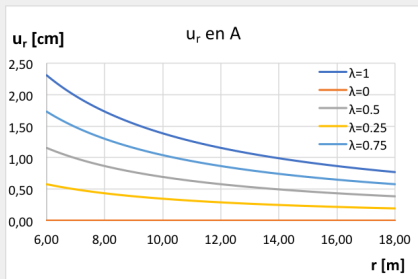


FIGURE – Solution théorique de la relation $u(r)$

Première composante de la courbe caractéristique du massif :

$$u_r(r = R) = \lambda \frac{\sigma_0 R}{2G}$$

DÉPLACEMENT DU MASSIF



- Plus λ est grand, plus le déplacement est grand
- Plusieurs valeurs de λ : effet du déconfinement dans chaque couche
→ la couche A est moins rigide

DISTRIBUTION DES CONTRAINTES

Contraintes radiales : $\sigma_r(r) = \left(1 - \lambda \frac{R^2}{r^2}\right) \sigma_0$

Contraintes orthogonales : $\sigma_\theta(r) = \left(1 + \lambda \frac{R^2}{r^2}\right) \sigma_0$

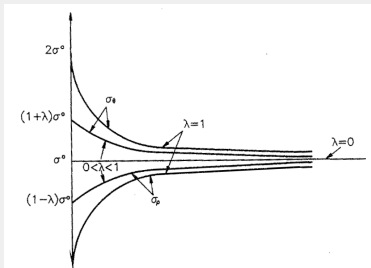
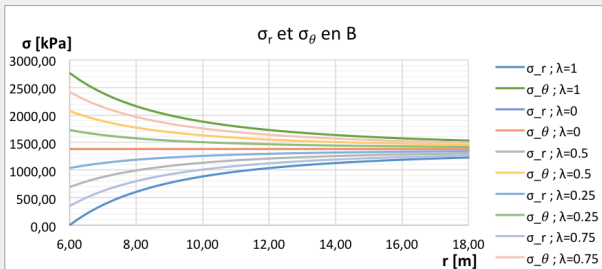
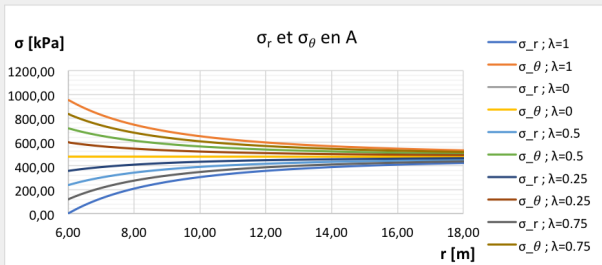


FIGURE – Solution théorique des relations $\sigma_r(r)$ et $\sigma_\theta(r)$

Deuxième composante de la courbe caractéristique du massif :

$$\sigma_r(r = R) = (1 - \lambda)\sigma_0$$

DISTRIBUTION DES CONTRAINTES



Chemins de contraintes $p - q$

$$\text{Contraintes moyennes : } p = \frac{\sigma_r + \sigma_\theta}{2} = \sigma_0$$

$$\text{Contraintes déviatoriques : } q = \sigma_\theta - \sigma_r = 2\lambda\sigma_0$$

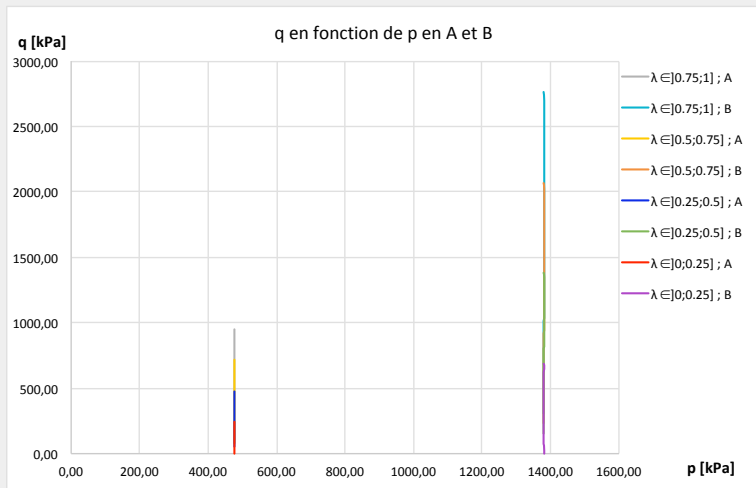
Chemins de contraintes $\sigma_r - \sigma_\theta$

$$\sigma_r(r = R) = (1 - \lambda)\sigma_0 \quad \text{et} \quad \sigma_\theta(r = R) = (1 + \lambda)\sigma_0$$

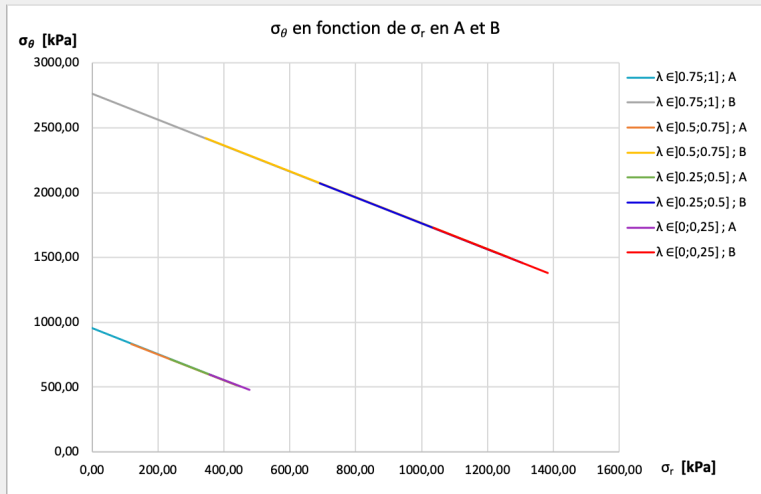
→ Contraintes radiales évoluent de manière **inversément proportionnelle** aux contraintes tangentielles

$$\text{En } \lambda = 0 : \quad \sigma_r = \sigma_\theta = \sigma_0$$

CHEMINS DE CONTRAINTES P-Q



CHEMINS DE CONTRAINTES $\sigma_r - \sigma_\theta$



COURBE CARACTÉRISTIQUE DU SOUTÈNEMENT

$$\text{Si } x \in [-2R; 4R] : u_R(x) = \alpha(x) \frac{\sigma_0 R}{2G}$$

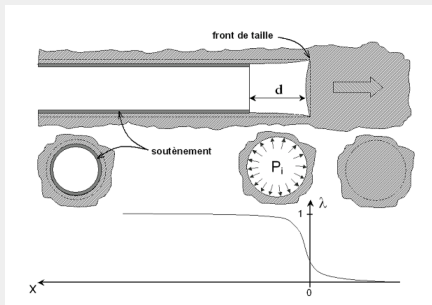


FIGURE – Déplacements en paroi en fonction de la distance au front de taille

$$\alpha(x) = \alpha_0 + (1 - \alpha_0) a(x) \text{ avec } \alpha_0 = 0,25 \text{ et } \forall x \geq 0$$

$$a(x) = 1 - \left[\frac{mR}{mR + x} \right]^2 \text{ avec } m = 0,75$$

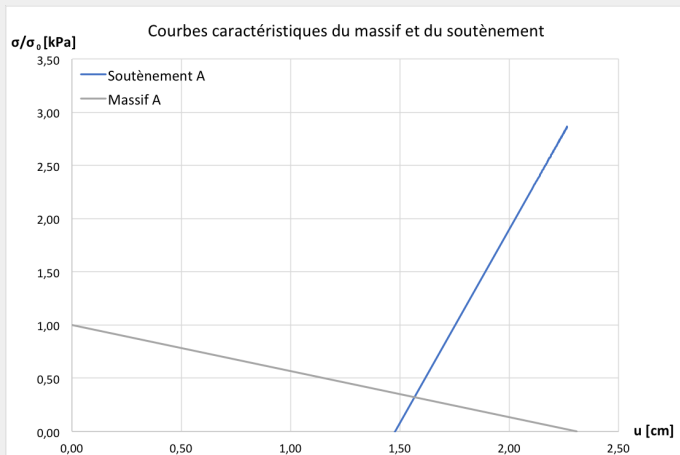
Contraintes radiales :

$$\text{Si } x < d : \sigma_r(x) = 0$$

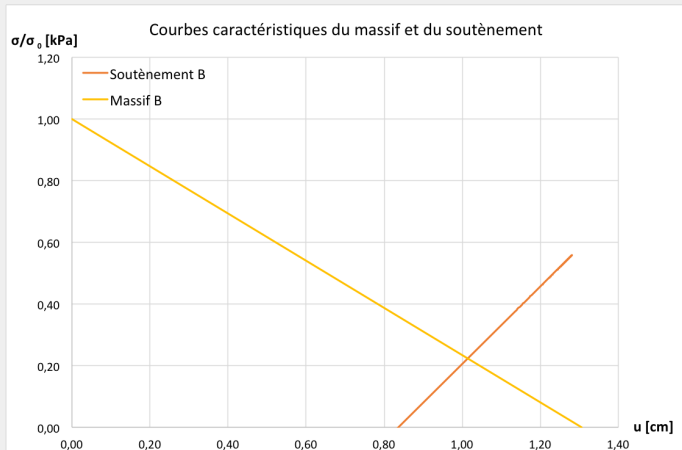
$$\text{Si } x \in [d; 4R] : \sigma_r(x) = K_{Sn} \frac{u_r(x) - u_r(d)}{R}$$

$$K_{Sn} = \frac{E_b}{1 - \nu_b^2} \frac{e_b}{R} \text{ en paroi mince } \left(\frac{R}{e_b} > 10 \right)$$

COURBES CARACTÉRISTIQUES

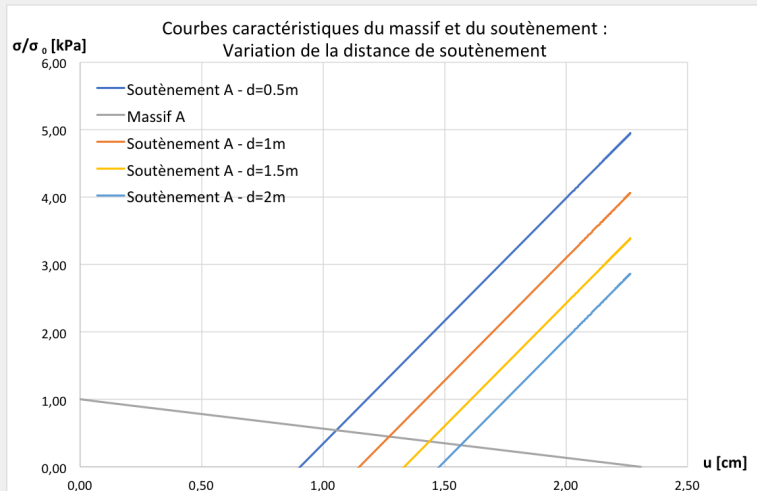


d=2m et e=20cm

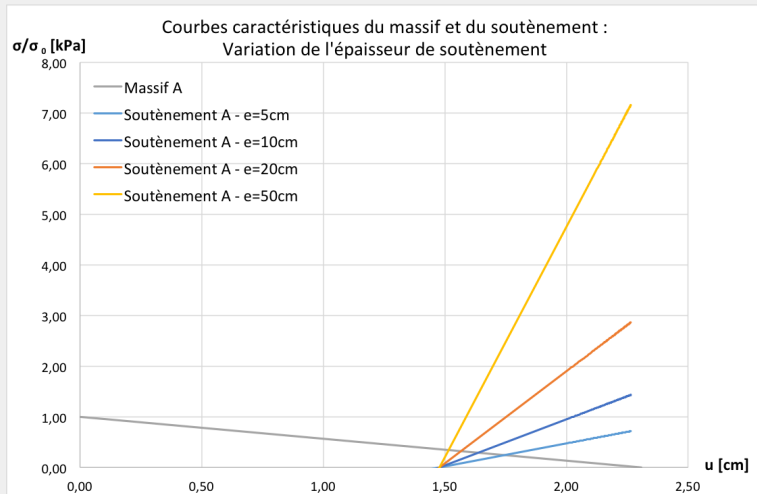


d=2m et e=20cm

VARIATION DE LA DISTANCE DU SOUTÈNEMENT



VARIATION DE L'ÉPAISSEUR DU SOUTÈNEMENT



ÉTUDE ÉLASTOPLASTIQUE

CRITÈRE DE MOHR-COULOMB

$$\tau = \sigma_n \tan \phi + c$$

$$\rightarrow \sigma_c = \sigma_\theta - K_p \sigma_r$$

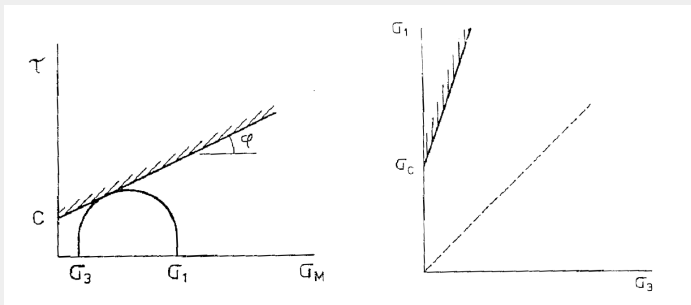


FIGURE – Modèle de Mohr-Coulomb

$$K_p = \frac{1 + \sin \phi}{1 - \sin \phi} \text{ et } \sigma_c = \frac{2c \cos \phi}{1 - \sin \phi}$$

COMPORTEMENT ÉLASTOPLASTIQUE

Comportement **plastique parfait** (sans écoulement ni adoucissement) :

$$\lambda_e = \frac{1}{K_p + 1} \left[K_p - 1 + \frac{\sigma_c}{\sigma_0} \right]$$

$$\text{Rayon plastique : } R_p = \begin{cases} R & \text{si } \lambda \leq \lambda_e \\ R \left[\frac{2\lambda_e}{(K_p + 1)\lambda_e - (K_p - 1)\lambda} \right]^{1/(K_p - 1)} & \text{si } \lambda > \lambda_e \end{cases}$$

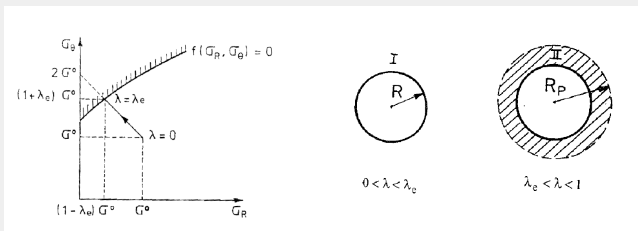


FIGURE – Évolution du rayon plastique

DÉPLACEMENT DU MASSIF

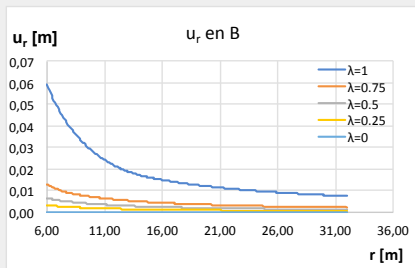
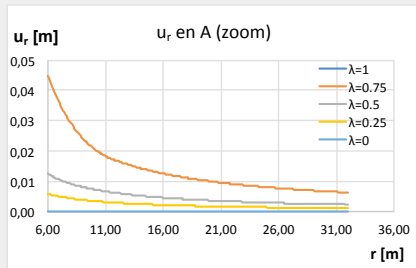
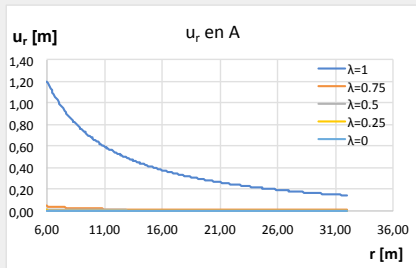
$$u_r(r) = \begin{cases} \lambda \frac{R^2}{r} \frac{\sigma_0}{2G} & \text{si } \lambda \leq \lambda_e \\ \frac{\lambda_e \sigma_0 r}{2G} \left(F_1 + F_2 \left(\frac{r}{R_p} \right)^{K_p-1} + F_3 \left(\frac{R_p}{r} \right)^{K_p+1} \right) & \text{si } \lambda > \lambda_e \text{ et } r \leq R_p \\ \lambda_e \frac{R_p^2}{r} \frac{\sigma_0}{2G} & \text{si } \lambda > \lambda_e \text{ et } r > R_p \end{cases}$$

où F_1, F_2, F_3 et K sont des paramètres dépendant de ν, K_p et ψ .
On a par ailleurs calculé :

$$\lambda_{e,\text{couche A}} = 0,39$$

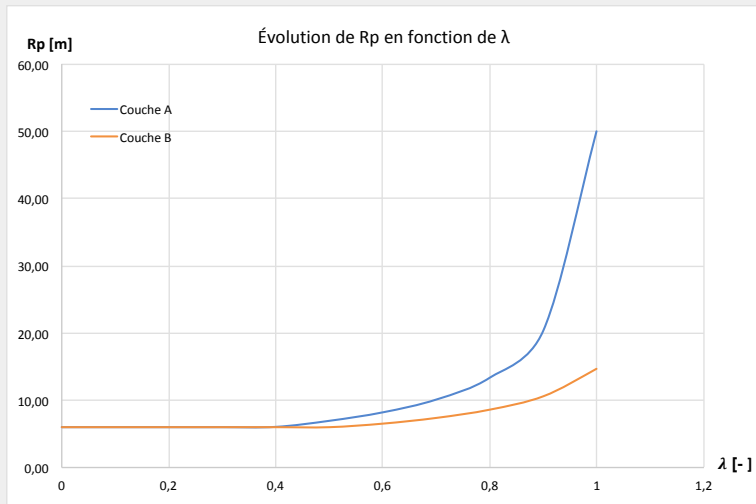
$$\lambda_{e,\text{couche B}} = 0,52$$

DÉPLACEMENT DU MASSIF



RAYON PLASTIQUE

Plus λ est grand, et plus R_p est grand \rightarrow Grands déplacements



DISTRIBUTION DES CONTRAINTES

$$\sigma_r(r) = \begin{cases} \left(1 - \lambda \frac{R^2}{r^2}\right) \sigma_0 & \text{si } \lambda \leq \lambda_e \\ \left(\frac{\sigma_0}{K_p - 1}\right) \left(2\lambda_e \left(\frac{r}{R_p}\right)^{K_p - 1} - \frac{\sigma_c}{\sigma_0}\right) & \text{si } \lambda > \lambda_e \text{ et } r \leq R_p \\ \left(1 - \lambda_e \frac{R_p^2}{r^2}\right) \sigma_0 & \text{si } \lambda > \lambda_e \text{ et } r > R_p \end{cases}$$

$$\sigma_\theta(r) = \begin{cases} \left(1 + \lambda \frac{R^2}{r^2}\right) \sigma_0 & \text{si } \lambda \leq \lambda_e \\ \sigma_c + K_p \sigma_{r,plast} & \text{si } \lambda > \lambda_e \text{ et } r \leq R_p \\ \left(1 + \lambda_e \frac{R_p^2}{r^2}\right) \sigma_0 & \text{si } \lambda > \lambda_e \text{ et } r > R_p \end{cases}$$

DISTRIBUTION DES CONTRAINTES

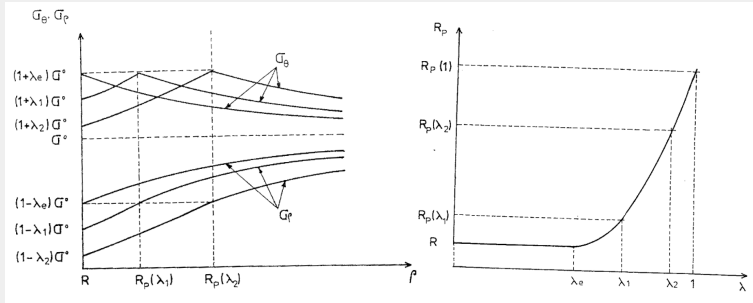
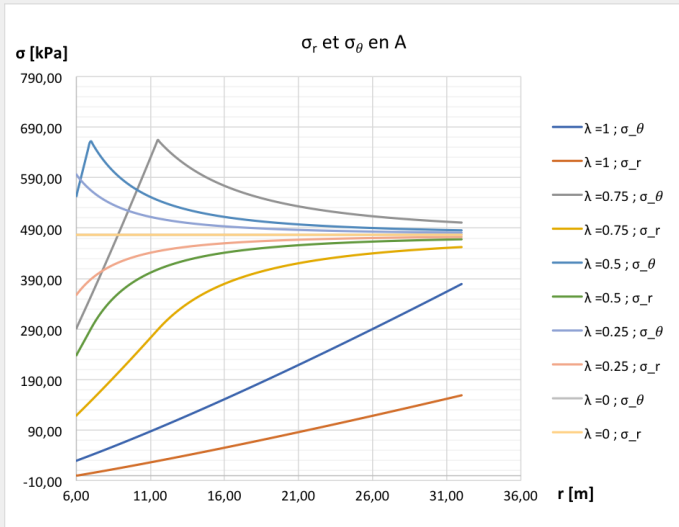


FIGURE – Distribution des contraintes pour le modèle de Tresca

Dans notre cas (Mohr-Coulomb) :

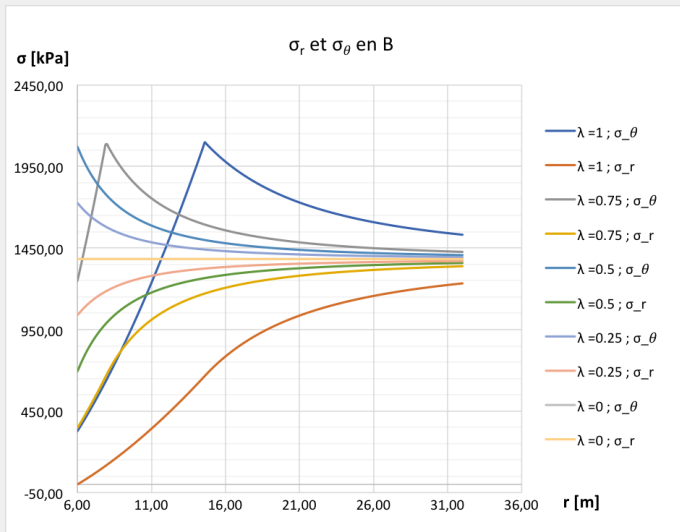
$$\sigma_\theta - \sigma_r = 2c \rightarrow \sigma_\theta - K_p \sigma_r = \sigma_c$$

DISTRIBUTION DES CONTRAINTES

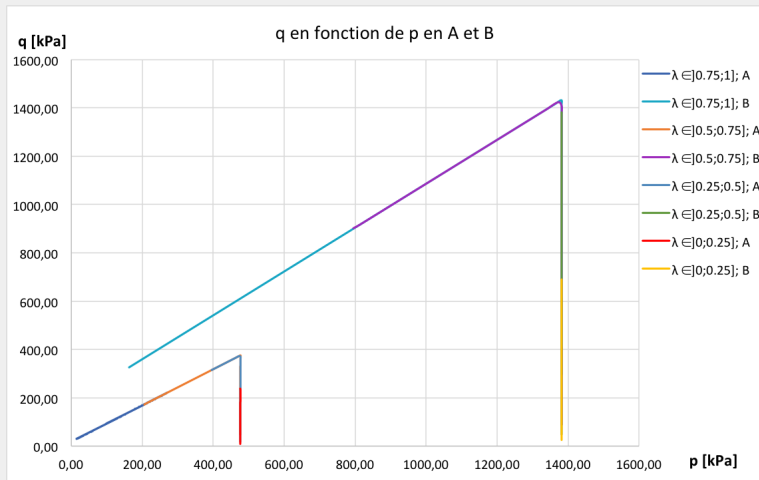


Pic en $r = R_p$

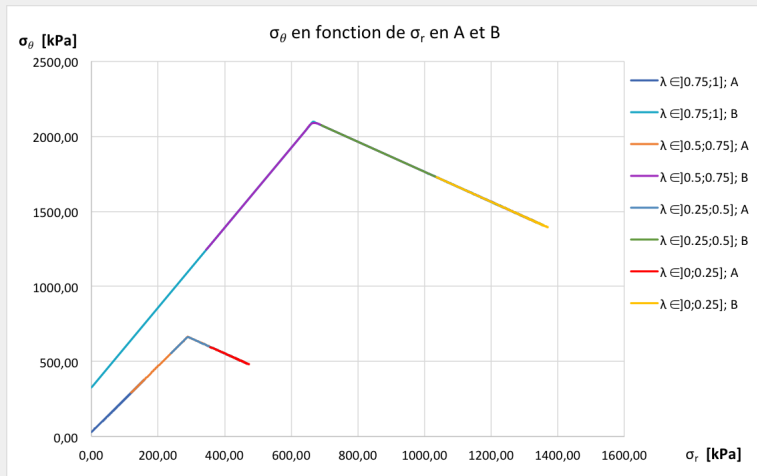
DISTRIBUTION DES CONTRAINTES



CHEMINS DE CONTRAINTES P-Q



CHEMINS DE CONTRAINTES $\sigma_r - \sigma_\theta$



COURBE CARACTÉRISTIQUE DU MASSIF

$$u_r(r = R) = \begin{cases} \frac{\lambda \sigma_0 R}{2G} \text{ si } \lambda \leq \lambda_e \\ \frac{\lambda_e \sigma_0 R}{2G} \left(F_1 + F_2 \left(\frac{R}{R_p} \right)^{K_p - 1} + F_3 \left(\frac{R_p}{R} \right)^{K + 1} \right) \text{ si } \lambda > \lambda_e \end{cases}$$

$$\sigma_r(r = R) = \begin{cases} (1 - \lambda) \sigma_0 \text{ si } \lambda \leq \lambda_e \\ \left(\frac{\sigma_0}{K_p - 1} \right) \left(2\lambda_e \left(\frac{R}{R_p} \right)^{K_p - 1} - \frac{\sigma_c}{\sigma_0} \right) \text{ si } \lambda > \lambda_e \end{cases}$$

$$\sigma_\theta(r = R) = \begin{cases} (1 + \lambda) \sigma_0 \text{ si } \lambda \leq \lambda_e \\ \sigma_c + K_p \sigma_{r,plast} \text{ si } \lambda > \lambda_e \end{cases}$$

COURBE CARACTÉRISTIQUE DU SOUTÈNEMENT

Déplacement radial :

$$\text{Si } x \in [-2R; 4R] : u_R(x) = \frac{1}{\xi} \alpha(x) \frac{\sigma_0 R}{2G}$$

$$\frac{1}{\xi} = \lambda_e \left(\frac{R_{p,max}}{R} \right)^{K+1} \text{ avec } R_{p,max} = R_p(\lambda = 1)$$

$$\alpha(x) = \alpha_0 + (1 - \alpha_0) a(x) \text{ avec } \alpha_0 = 0,25 \text{ et } \forall x \geq 0$$

$$a(x) = 1 - \left[\frac{mR}{mR + x\xi} \right]^2 \text{ avec } m = 0,75$$

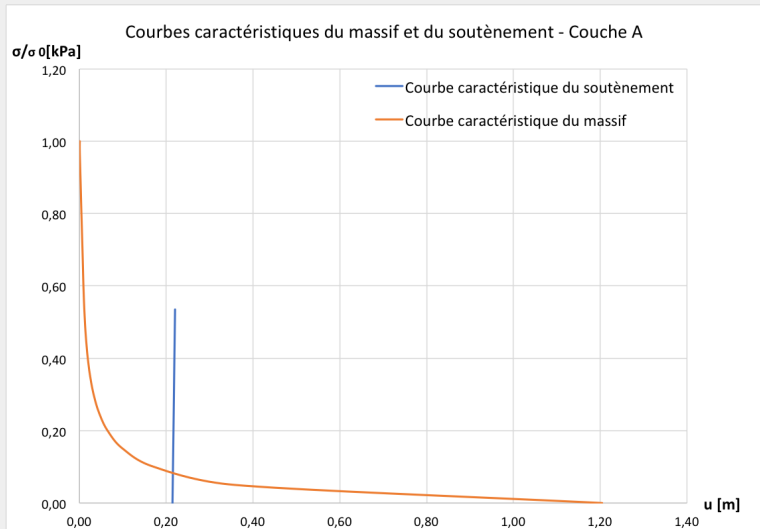
Contraintes radiales :

$$\text{Si } x < d : \sigma_r(x) = 0$$

$$\text{Si } x \in [d; 4R] : \sigma_r(x) = K_{Sn} \frac{u_r(x) - u_r(d)}{R}$$

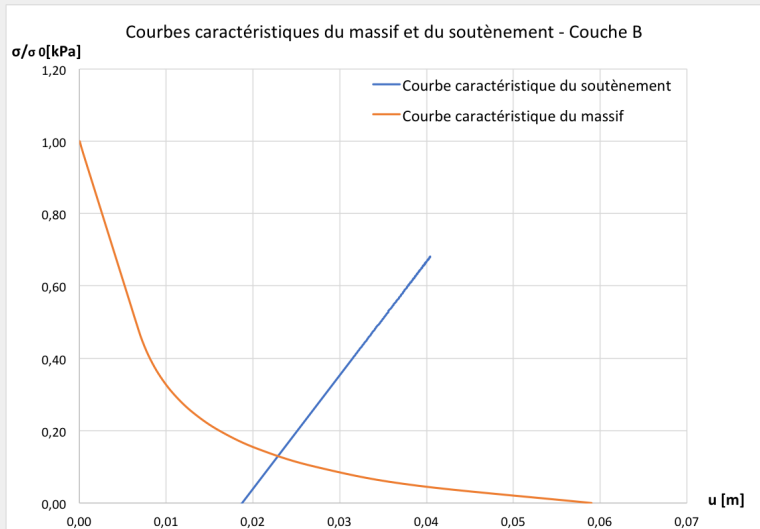
$$K_{Sn} = \frac{E_b}{1 - \nu_b^2} \frac{e_b}{R} \text{ en paroi mince } \left(\frac{R}{e_b} > 10 \right)$$

COURBES CARACTÉRISTIQUES



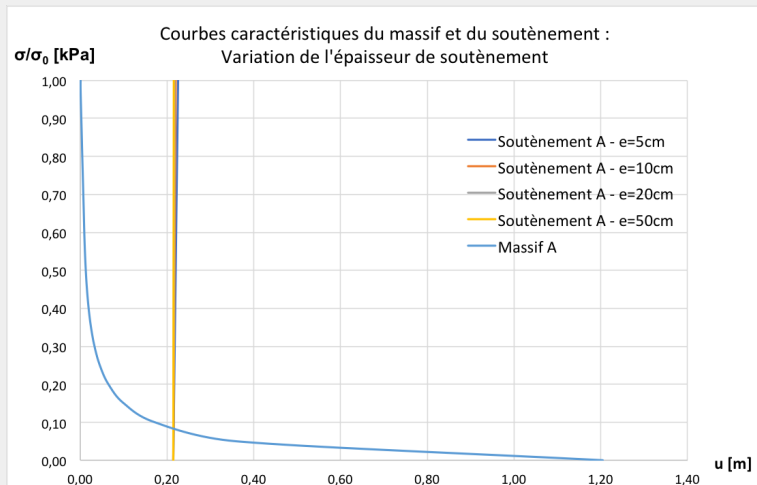
$d = 2\text{ m}$ et $e = 5\text{ cm}$

COURBES CARACTÉRISTIQUES



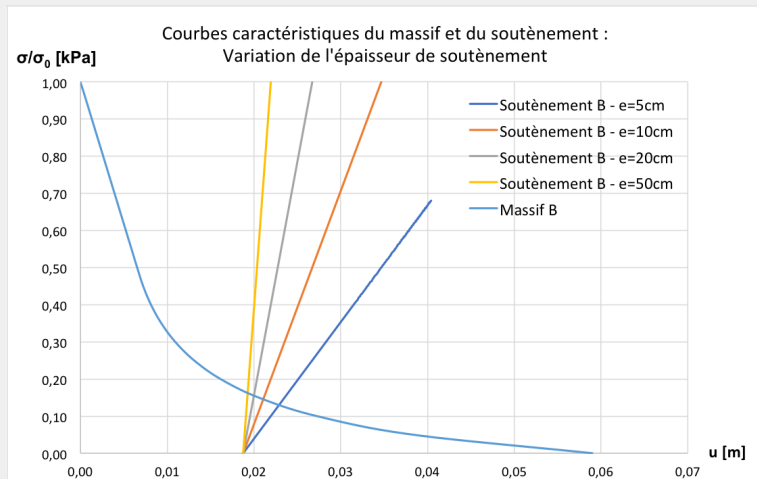
$d = 2\text{ m}$ et $e = 5\text{ cm}$

VARIATION DE L'ÉPAISSEUR DU SOUTÈNEMENT



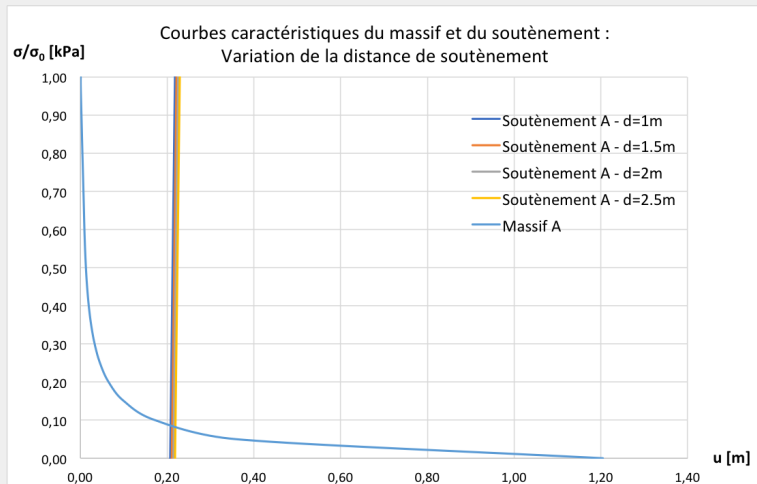
$$d = 2\text{m}$$

VARIATION DE L'ÉPAISSEUR DU SOUTÈNEMENT



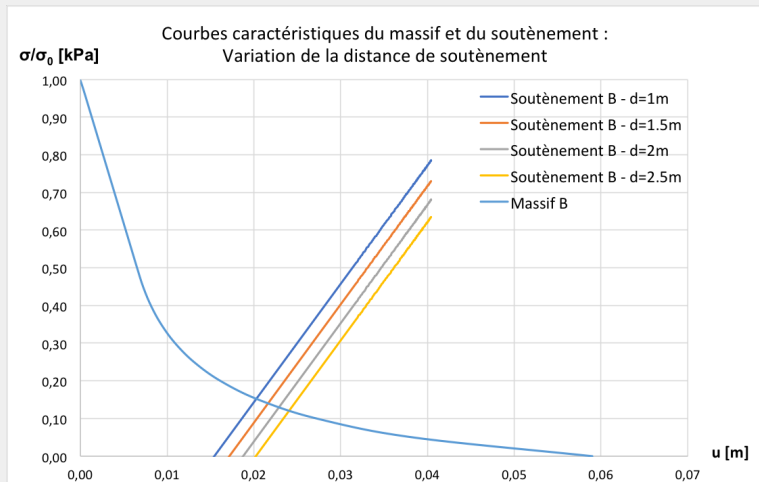
$$d = 2m$$

VARIATION DE LA DISTANCE DU SOUTÈNEMENT



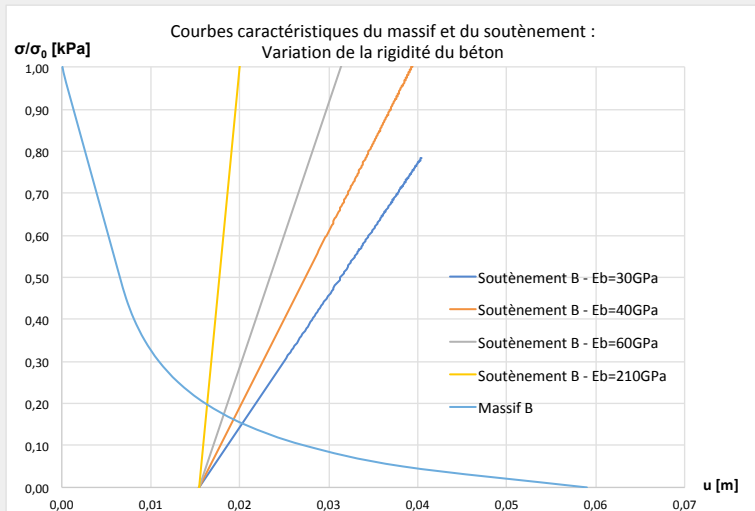
$e = 5\text{cm}$

VARIATION DE LA DISTANCE DU SOUTÈNEMENT



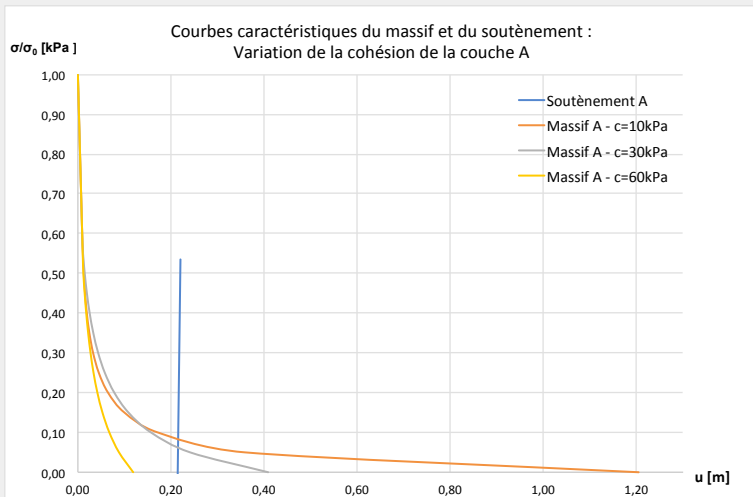
$e = 5\text{cm}$

VARIATION DU MODULE DE RIGIDITÉ



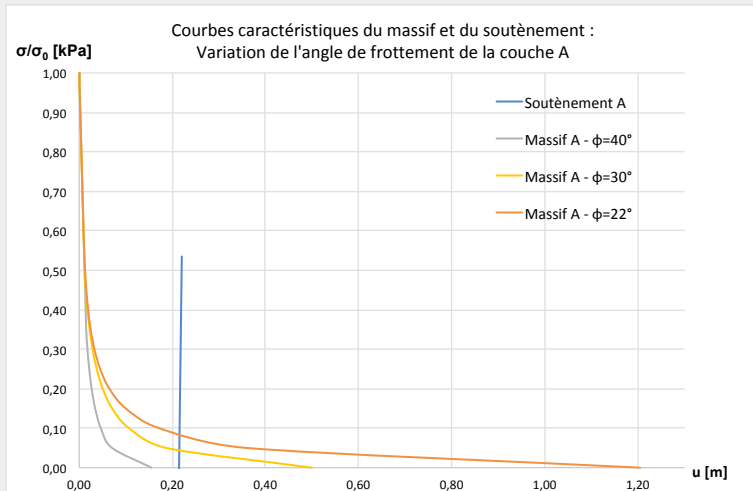
$d = 1\text{m}$ et $e = 5\text{cm}$

VARIATION DE LA COHÉSION DANS LE MASSIF



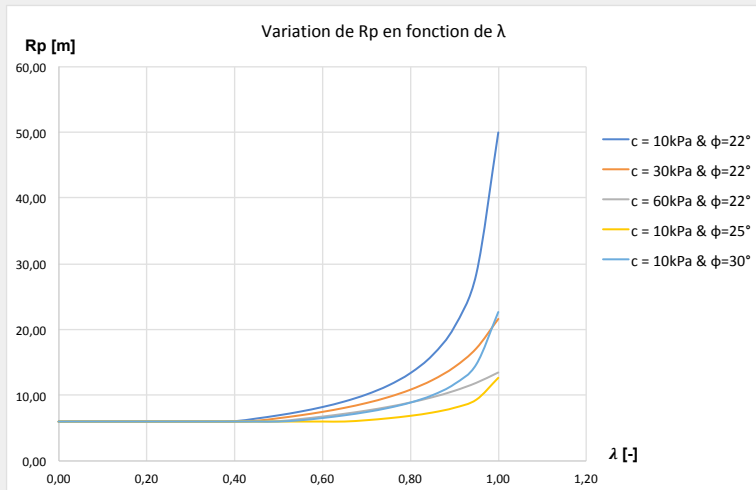
$d = 2\text{m}$ et $e = 5\text{cm}$

VARIATION DE L'ANGLE DE FROTTEMENT DANS LE MASSIF



$d = 2\text{m}$ et $e = 5\text{cm}$

VARIATION DU RAYON DE PLASTICITÉ R_p



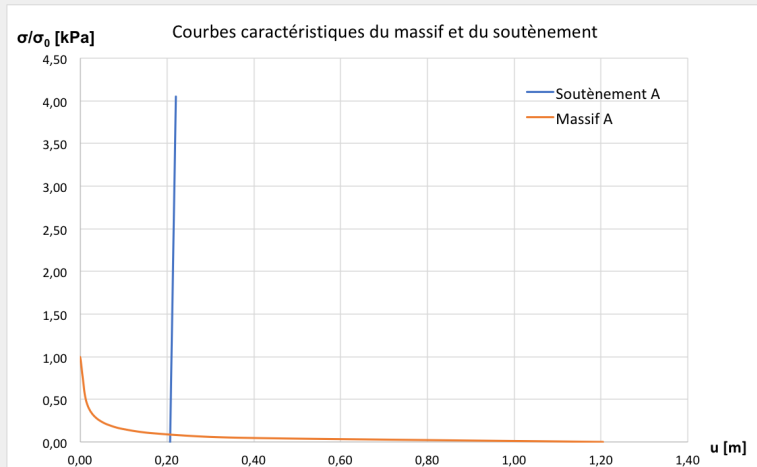
$d = 2\text{m}$ et $e = 5\text{cm}$

DIMENSIONNEMENT

Dimensionnement pour limiter $u_r(x)$ à 5 cm : **impossible** en A

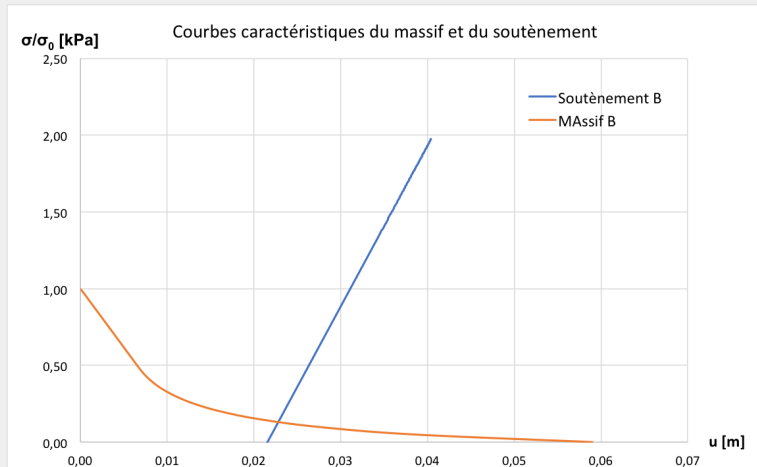
→ Accepter 20cm de déplacement OU Soutènement en voûtes parapluies

DIMENSIONNEMENT



$d = 1\text{ m}$ et $e = 5\text{ cm}$

DIMENSIONNEMENT



$d = 3\text{ m}$ et $e = 5\text{ cm}$

CONCLUSION

CONCLUSION

- Couche A la plus critique
- Diminution du déplacement si
 - l'épaisseur du soutènement augmente
 - la distance du soutènement par rapport au front de taille diminue
 - le module de Young du béton augmente
 - la cohésion augmente
 - l'angle de frottement augmente